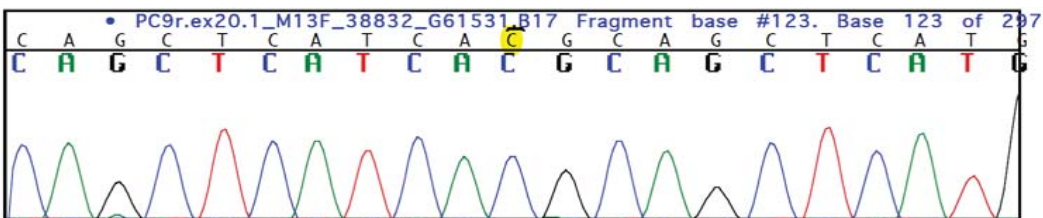


Figure S4. Lee et al

PC-9 parental



PC-9 ER

